温度分布を有するコンクリート内部の水分移動に及ぼす収縮低減剤の影響

広島大学 正会員 〇寺本 篤史 広島大学 森元 悠太 広島大学 大久保 孝昭

1. はじめに

セメント系材料の体積変化制御手法の一つに収縮 低減剤(SRA)が挙げられる。SRA の収縮抑制機構 に関しては、毛細管張力説に則り、毛細管水の表面張 力を低下させることで水分減少に伴う負圧の増大を 抑制させるという説明が一般的になされている。ま た、SRA を使用することで相対湿度の低下を抑制さ せるという研究も報告されている。^{例えば1)}

しかし、SRA を含有したコンクリートの水分移動に関する既往の研究は数が少なく²⁾、一般的な水分移動の研究についても、コンクリート内部温度が等温であるものが多数を占めている^{例えば3)、4)}。

以上より、本研究では、実構造物のように内部に温 度分布を有する条件において、SRA が水分移動に及 ぼす影響を明らかにするための実験的検討を行った。

2. 実験概要

本実験で使用した試験体の概要を図 1 に示す。試験体寸法は 400×400×150mm であり、400×150mm の

1面をラバーヒータによって加熱し、その向かい側の面を 20℃、60%RH 環境に晒すことで、温・湿度分布を生じさせた。他の 4面はアルミテープで封緘し、断熱材で覆った。測定項目は温度、相対湿度、切ずみであり、温度測定には T型熱電対、相対湿度測定にはハンディタイプ温湿度計(精度:±0.8%RH)、ひずみ測定には埋込型ひずみ計を使用した。測定箇所は図 1 に示す通りである。試験体の作製には生コンクリートをそのまま使用したもの(PL)、荷下ろし後に 6kg/m³となるように SRA を後添加し練り混ぜたもの(SR)を用い、試験体作製後、20℃水槽で約 400 日間水中養生を行った後、加熱、乾燥を開始した。

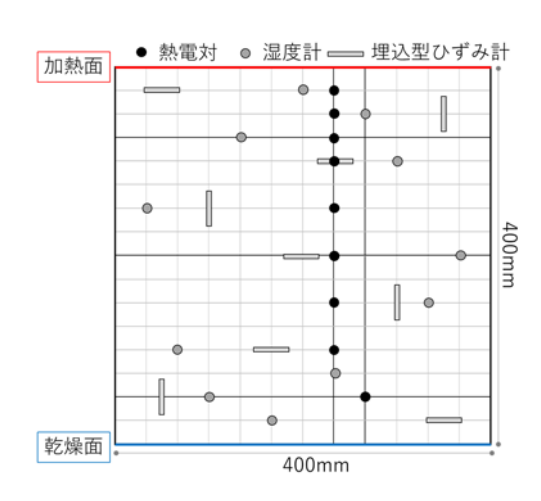
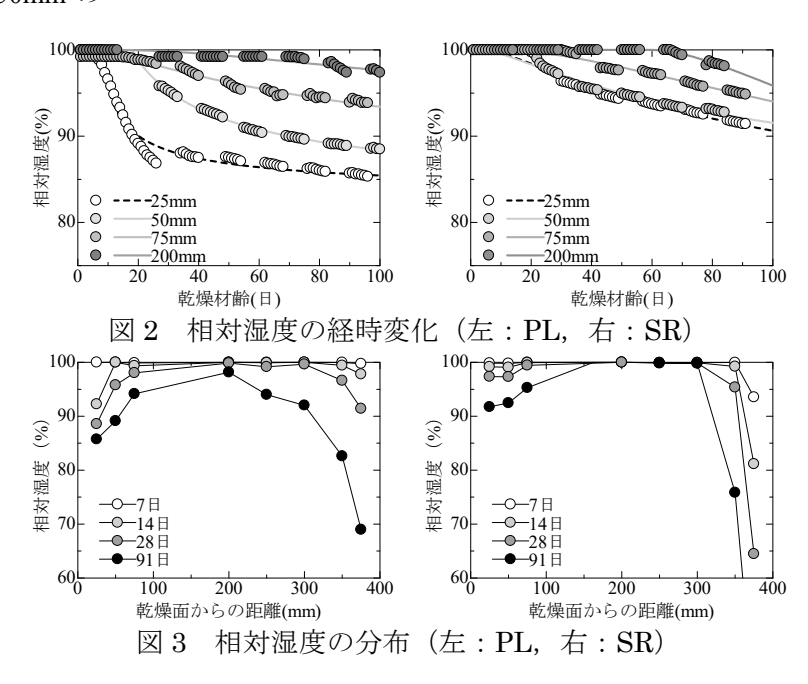


図1 試験体概要

3. 実験結果および考察

3. 1 相対湿度の経時変化

図 2 および図 3 に各測定点における相対湿度の経時変化と,各位置における相対湿度の分布を示す。ここで図 2 中の実線は式(1),(2)で実験値を近似した曲線であり,図 2 には乾燥面側の相対湿度の経時変化



キーワード 水分移動,加熱,温度分布,拡散係数,乾燥収縮 連絡先 〒739-8527 東広島市鏡山 1-4-1 広島大学大学院工学部 A2 棟 T E L 082-424-7862

のみを記載している。

$$RH = 100\{1 - ((a - \lambda)/b)^n \}$$
 (1)

$$\lambda = 0.1x/\sqrt{t} \tag{2}$$

ここに、RH: 任意材齢 t における相対 湿度 (%), λ : ボルツマン変換に用いられる変数 (cm/ \sqrt{day}), a,b,n: 最小二乗法によって決定された定数である。

図3より、PL、SRともに、乾燥面に近いほど相対湿度の低下が見られるが、加熱面近傍においても相対湿度の著しい低下が確認される。これは加熱面においてラバーヒータの接着が密実ではなく、加熱面から乾燥が進行したために生じたものと考えられる。そのため、以下の議論で

は、加熱面から乾燥の影響が小さいと考えられる、乾燥面側に着目して議論を進める。

図2に示すSRの相対湿度の経時変化を見ると,乾燥に伴う相対湿度の低下がPLと比較して抑制されていることが確認できる。BentzらはKelvin式より、SRAの使用は毛細管水の表面張力を低下,および毛細管水表面の曲率半径を増加させ,結果として相対湿度の低下を抑制すると説明しており,定性的には既往の研究結果を再現する傾向であった。

3. 2 拡散係数

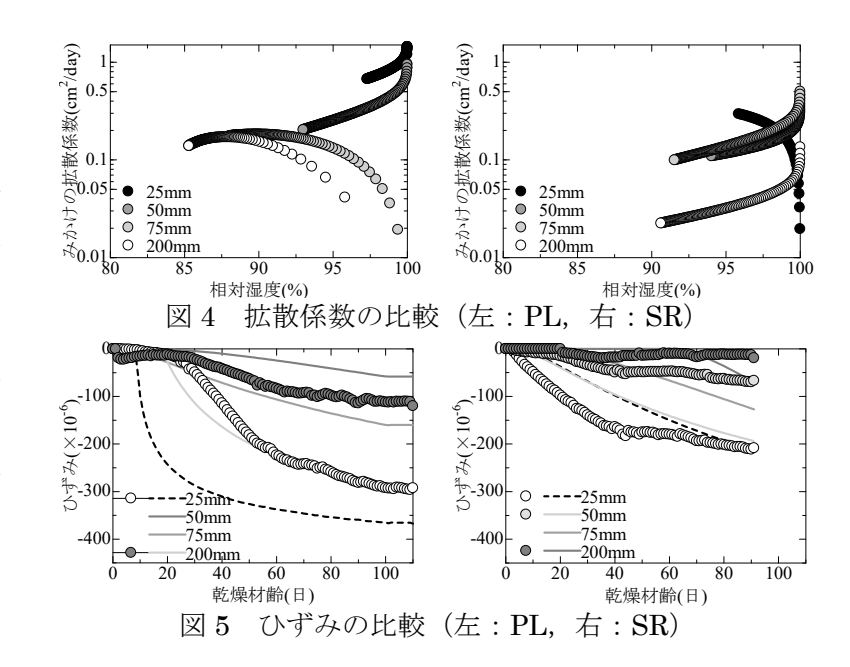
次に各相対湿度の測定箇所における見かけの拡散 係数を式(3)により算出した。

$$K(RH) = \int_{RH}^{1} \lambda \frac{dRH}{2} \left(\frac{dRH}{d\lambda} \right)$$
 (3)

ここに、K(RH): 拡散係数(cm^2/day)である。式(3)は温度が定常状態であることを前提としているが、本実験の試験体は、加熱面からの位置によって温度分布が生じているものの、各測定点においては温度の時間変化がほとんどなかったため、式(3)を適用可能と判断した。図 4 に各測定位置における拡散係数と相対湿度の関係を示す。Sant 6^{50} の実験によると、SRA を使用することで含水率が 0%になる時点で拡散係数は $0.31\sim0.83$ (cm^2/day)程度減少させることが報告されている。本実験では乾燥材齢 91 日時点までの結果しか得られていないが、PL と SR の拡散係数の差は $0.08\sim0.12$ (cm^2/day)程度であった。

3.3 乾燥収縮ひずみ

下村ら6による乾燥収縮モデルにより相対湿度の



実験結果を用いて乾燥収縮ひずみの推定を行った。 図 5 に乾燥収縮ひずみの経時変化を実験値と推定を 併せて示す。一部の埋込型ひずみ計は測定値が欠損 していたためここでは表示していない。

図より実験値と推定値には差異が見られるものの、 乾燥収縮ひずみの大小関係や曲線の形状は概ね再現 ができた。また、SRAによる乾燥収縮の抑制効果は 明らかであった。

4. 結論

部材内に温度分布を有するコンクリートにおいて も、従来の知見通り、SRAの使用により相対湿度の 低下を抑制し拡散係数を小さくすること、結果とし て乾燥収縮ひずみを抑制されることが示された。

謝辞:本研究は科学研究費補助金(15H04077,代表: 丸山一平)の助成を受け実施した。

参考文献

- 1) D. P. Bentz et. al.: Shrinkage-reducing admixture and early-age desiccation in cement pastes and mortars, Cement and Concrete Research, 31, pp1075-1085, 2001
- 2) G. Sant et. al.: Influence of Shrinkage-Reducing Admixtures on Moisture Absorption in Cementitious Materials at Early Ages, Journal of Materials in Civil Engineering, Vol.22, No.3, pp277-286, 2010
- 3) Crank, J:The mathematics of diffusion, Oxford at the Clarendon Press, pp148-149, 1955
- 4) 椎名国雄: コンクリートの内部湿度と変形, コンクリートジャーナル, Vol.7, No.6, pp1-11, 1969
- 5) 阪田憲次, 蔵本修: 乾燥に伴うコンクリート中の 水分の逸散と乾燥収縮に関する研究, 土木学会論文 報告集, No.316, pp145-152, 1981
- 5) 6)下村匠, 前川宏一: 微視的機構に基づくコンクリートの乾燥収縮モデル, 土木学会論文集, No.520, Vol.28, pp35-45, 1995